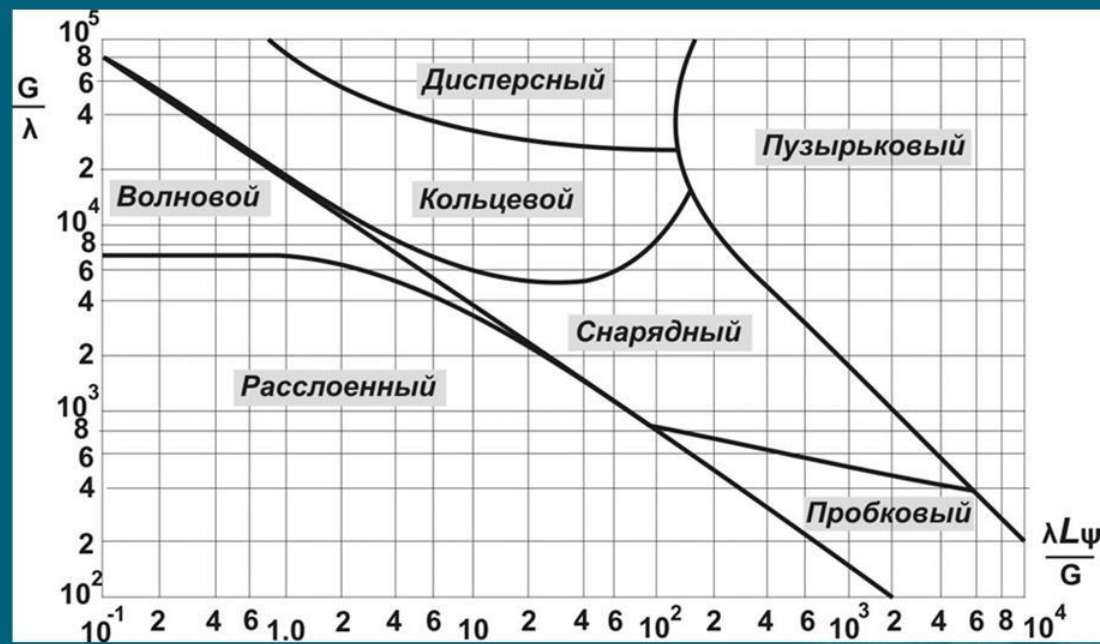
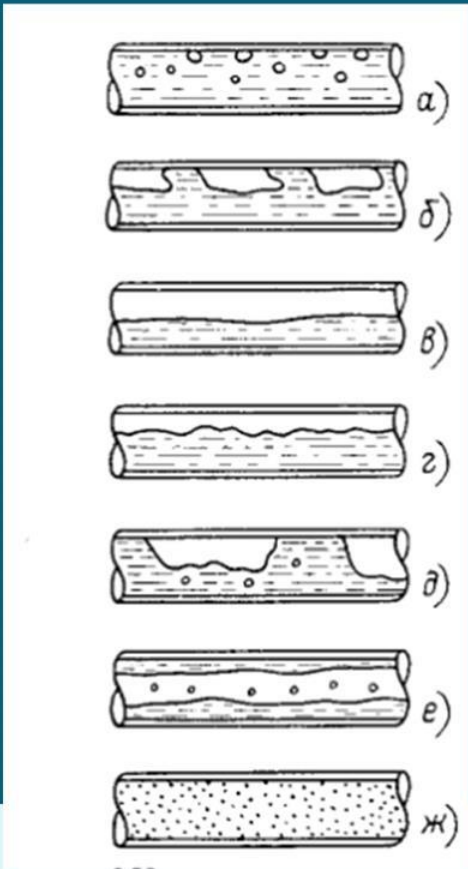


Лекция 8

Гидродинамика двухфазных течений. Стационарное и нестационарное течение.

В гомогенных – все (режим течения) в:

$$Re = \frac{wl}{\nu}$$



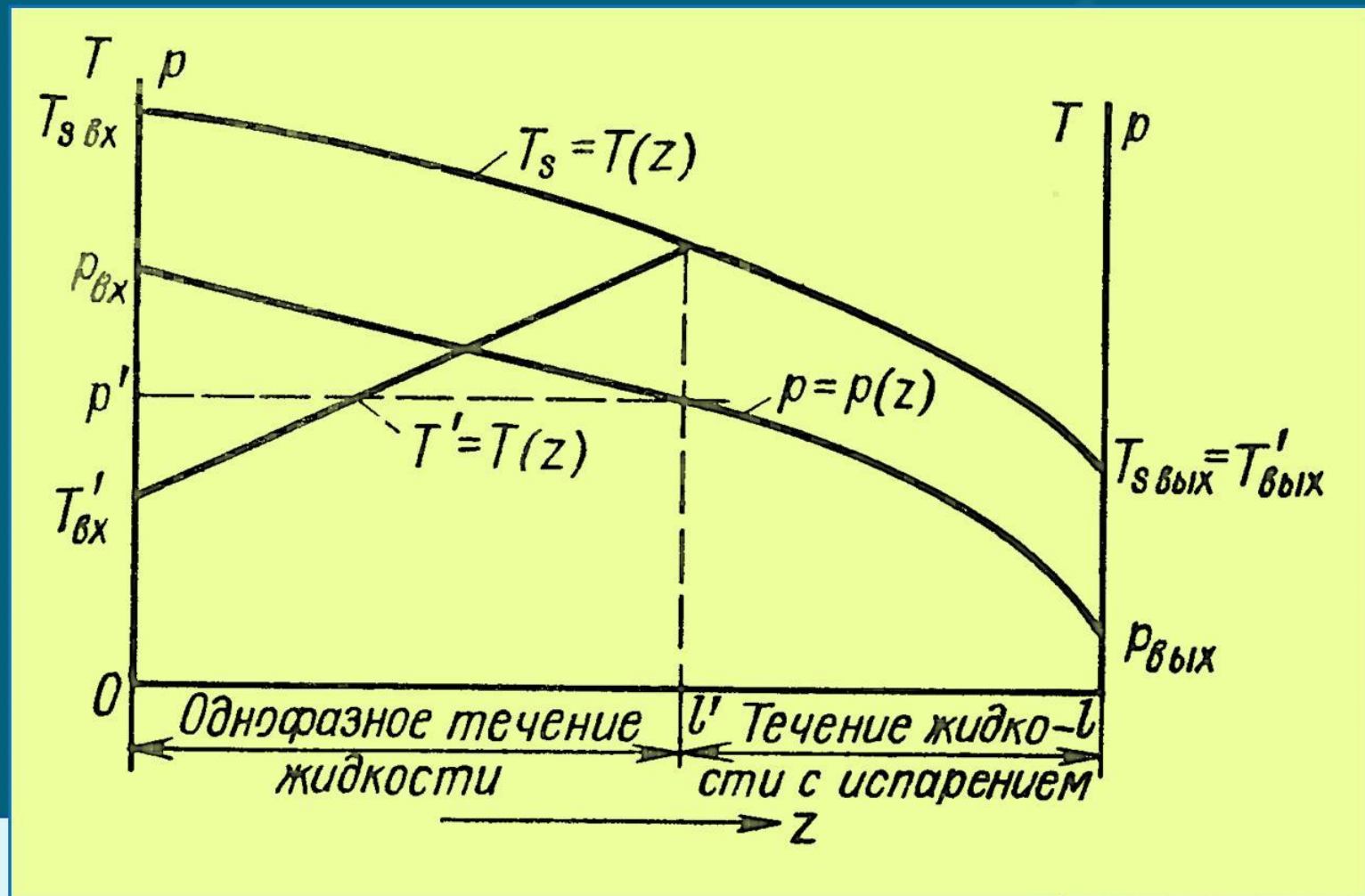
$$\lambda = \left[\frac{\rho_{\text{п}} \rho_{\text{ж}}}{\rho_{\text{а}} \rho_{\text{в}}} \right]^{\frac{1}{2}} ; \quad \psi = \left(\frac{\sigma_{\text{ж}}}{\sigma_{\text{в}}} \right) \left[\left(\frac{\mu_{\text{в}}}{\mu_{\text{ж}}} \right) \left(\frac{\rho_{\text{ж}}}{\rho_{\text{в}}} \right)^2 \right]^{\frac{1}{3}} ;$$

$$G = x ; \quad L = 1 - x.$$

Целиком испаряется

$$\frac{l}{d} = \frac{\rho_{\text{в}} \left[r + c_p (t_s - t_{\text{входа}}) \right]}{4 \bar{q}}$$





При одномерном течение – уравнение Бернулли

$$p = p_{\text{входа}} - \left(\frac{\lambda_{\text{трения}} z}{d} + \sum \zeta \right) \frac{\rho w^2}{2}$$



При $Re > 10^5$ $\lambda_{\text{трения}} = 0.0015 \div 0.021$



$$\delta q = Tds = dh - vdp + d\left(\frac{w^2}{2}\right) + gdz$$



$$dh = Tds + vdp = c_p dT + \left[-T \left(\frac{\partial v}{\partial T} \right)_p + v \right] dp$$



$$\left[-T \left(\frac{\partial v}{\partial T} \right)_p + v \right] = -c_p \alpha_h$$



$$c_p dT = dq + c_p \alpha_h dp$$

$$-d\left(\frac{w^2}{2}\right) - gdz$$



$$t_2 - t_1 = \frac{Q}{Gc_p} + \int_{p_1}^{p_2} \alpha_h dp$$

Q – через изоляцию и от наддува

Дифференциальный джоуль-томпсоновский эффект криогенных жидкостей вблизи температуры насыщения при атмосферном давлении и его отдельные составляющие

Жидкий продукт	Температура, К	$(\partial T/\partial p)_i$, К/МПа	$(\partial T/\partial p)_s$, К/МПа	v/c_p , К/МПа	Жидкий продукт	Температура, К	$(\partial T/\partial p)_i$, К/МПа	$(\partial T/\partial p)_s$, К/МПа	v/c_p , К/МПа
CH ₄	112	-0,36	0,24	-0,6	N ₂	77	-0,36	0,23	-0,59
O ₂	90	-0,32	0,18	-0,5	H ₂	21	-1,12	0,38	-1,5
Ar	88	-0,374	0,266	-0,64	He	4,2	-0,6	1,3	-1,9

$$\xi_{\Sigma} \ll \lambda_{\text{TP}} l/D,$$

$$w_{0, \lambda} = 1,17 \left(\frac{q \eta}{\lambda_{\text{TP}} \rho} \right)^{1/3}$$

$$w_{\xi, 0} = 1,17 \left[\frac{q \eta}{\lambda_{\text{TP}} \rho [(1 + 0,8\xi_{\Sigma}/(\lambda_{\text{TP}} l/D))]} \right]^{1/3}$$

$$w = \frac{4G}{\pi D^2 \rho} =$$

$$P_{\text{ВХ}} = P_{\text{ВЫХ}} + \left(\xi_{\Sigma} + \frac{\lambda_{\text{TP}} l}{D} \right) \frac{\rho w^2}{2} =$$

$$T_{\text{ВХ}} = T_{\text{ВЫХ}} - \frac{q \pi D l}{G c_p} - \frac{P_{\text{ВХ}} - P_{\text{ВЫХ}}}{\rho c_p}$$

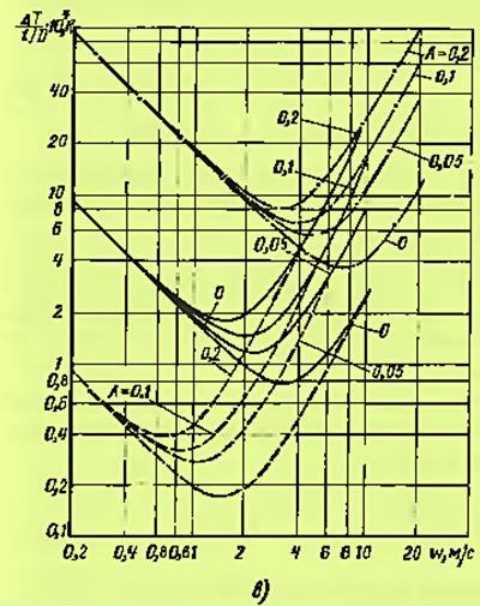
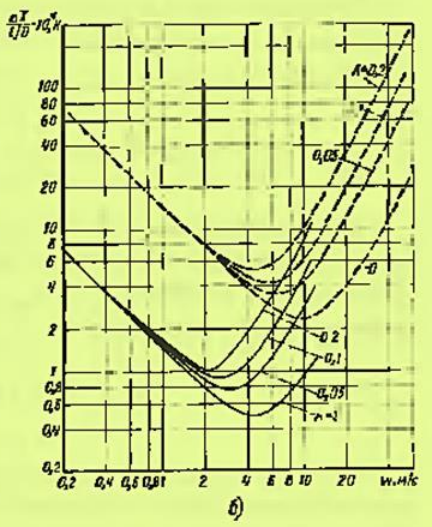
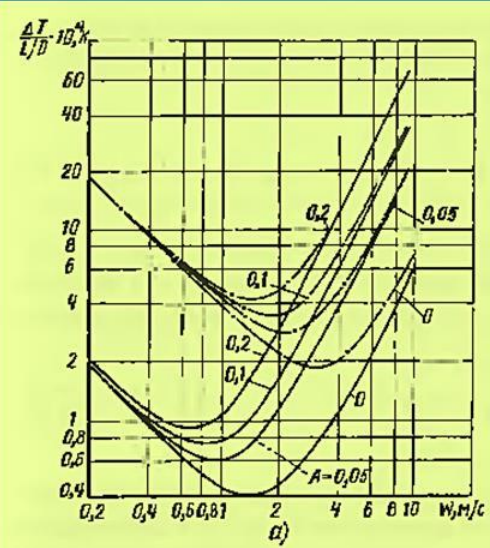


Рис. 5. 44. Кривые прогрева жидкого криопродукта на одном калибре трубы в зависимости от скорости потока при различных значениях параметра $A = \xi_{\Sigma}/(\lambda_{\text{TP}} l/D)$:
 а — кислород, б — водород, в — гелий
 - - - - $q = 0,2 \text{ Вт/м}^2$;
 - - - - $q = 20 \text{ Вт/м}^2$;
 - - - - $q = 200 \text{ Вт/м}^2$

Однофазный поток на выходе

$$T_{\text{ВЫХ}} < T_{s \text{ ВЫХ}},$$

$$x_{\text{ВЫХ}} < 0$$

Двухфазный поток на выходе

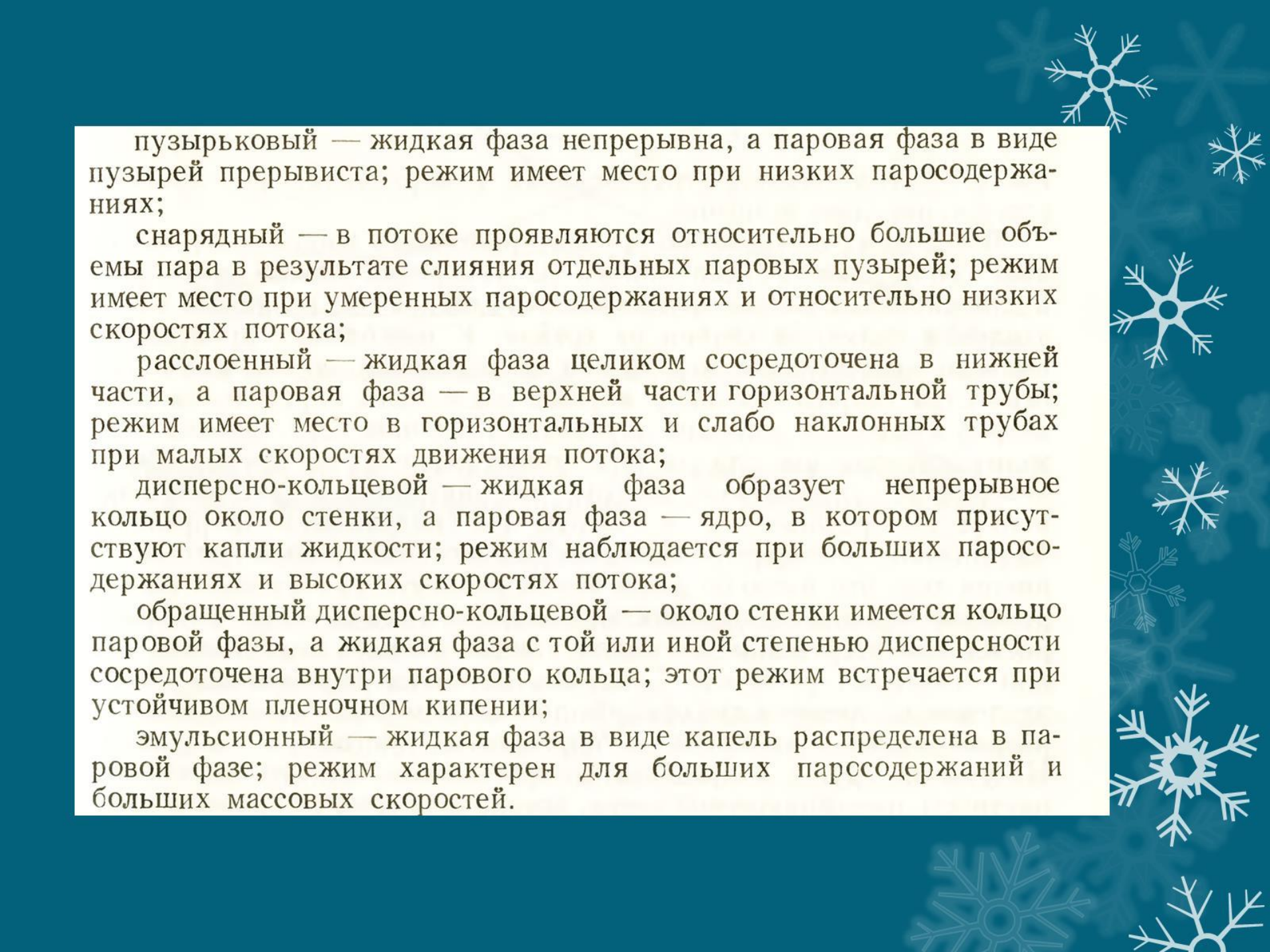
$$T_{s \text{ ВЫХ}} > T_{\text{хр}} + \frac{Q}{Gc_p} + \frac{v(p_{\text{ВХ}} - p_{\text{ВЫХ}})}{\eta c_p}$$

η — коэффициент объемных и гидравлических потерь в насосе

$$\eta = 0,6 \div 0,8$$

Анализ теплот

$$x_{\text{ВЫХ}} = \frac{Q}{Gr} + \frac{v(p_{\text{ВХ}} - p_{\text{ВЫХ}})}{\eta r} - \frac{c_p (T_{s \text{ ВЫХ}} - T_{\text{хр}})}{r}$$



пузырьковый — жидкая фаза непрерывна, а паровая фаза в виде пузырей прерывиста; режим имеет место при низких паросодержаниях;

снарядный — в потоке проявляются относительно большие объемы пара в результате слияния отдельных паровых пузырей; режим имеет место при умеренных паросодержаниях и относительно низких скоростях потока;

расслоенный — жидкая фаза целиком сосредоточена в нижней части, а паровая фаза — в верхней части горизонтальной трубы; режим имеет место в горизонтальных и слабо наклонных трубах при малых скоростях движения потока;

дисперсно-кольцевой — жидкая фаза образует непрерывное кольцо около стенки, а паровая фаза — ядро, в котором присутствуют капли жидкости; режим наблюдается при больших паросодержаниях и высоких скоростях потока;

обращенный дисперсно-кольцевой — около стенки имеется кольцо паровой фазы, а жидкая фаза с той или иной степенью дисперсности сосредоточена внутри парового кольца; этот режим встречается при устойчивом пленочном кипении;

эмульсионный — жидкая фаза в виде капель распределена в паровой фазе; режим характерен для больших паросодержаний и больших массовых скоростей.

$$\left(\frac{\Delta p}{\Delta l}\right)_{\text{см}} = \left(\frac{\Delta p}{\Delta z}\right)_{\text{тр}} + \left(\frac{\Delta p}{\Delta z}\right)_{\text{к. д}} + \left(\frac{\Delta p}{\Delta z}\right)_{\text{п}}$$

$$\left(\frac{\Delta p}{\Delta z}\right)_{\text{к. д}} = \frac{\Delta}{\Delta z} [\rho_{\text{г}} W_{\text{г}}^2 \varphi - \rho_{\text{ж}} W_{\text{ж}}^2 (1 - \varphi)];$$

$$\left(\frac{\Delta p}{\Delta z}\right)_{\text{п}} = [\rho_{\text{г}} \varphi + \rho_{\text{ж}} (1 - \varphi)] g \cos \alpha,$$

Модель скольжения Мартиннели-Локкарта-Нельсона

$$\left(\frac{\Delta p}{\Delta l}\right)_{\text{см}} = \left(\frac{\Delta p}{\Delta l}\right)_{\text{г}} \Phi_{\text{г}}^2;$$

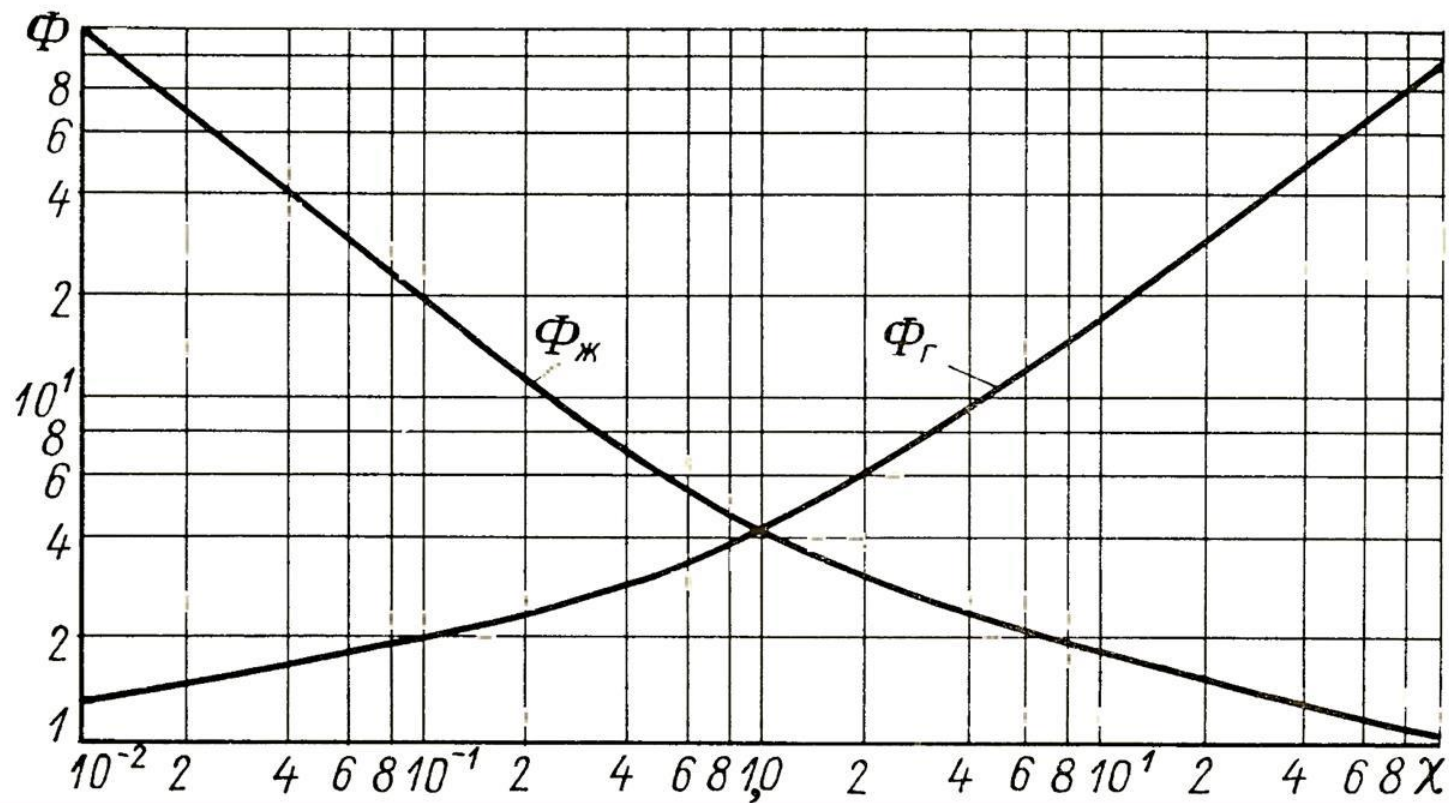
$$\left(\frac{\Delta p}{\Delta l}\right)_{\text{см}} = \left(\frac{\Delta p}{\Delta l}\right)_{\text{ж}} \Phi_{\text{ж}}^2;$$

эмпирика

$$X = \left[\frac{(\Delta p / \Delta l)_{\text{ж}}}{(\Delta p / \Delta l)_{\text{г}}} \right]^{\frac{1}{2-n}}$$

$$\lambda_{\text{тр}} = \dot{A} / \text{Re}^n$$

Для турбулентного $n = 0 \div 0.25$



$$\left(\frac{\Delta p}{\Delta l} \right)_{\text{см}} = \left(\frac{\Delta p}{\Delta l} \right)_{\text{ж0}} (1 - \chi)^{1,75} \Phi_{\text{ж}}^2$$

Гомогенный подход

$$v_{\text{см}} = v_{\text{ж}} (1 - x) + v_{\text{г}} x$$

Дарси — Вейсбаха

$$\left(\frac{\Delta p}{\Delta l} \right)_{\text{см}} = \frac{\lambda_{\text{см}} (\rho W)^2 v_{\text{см}}}{2D}$$

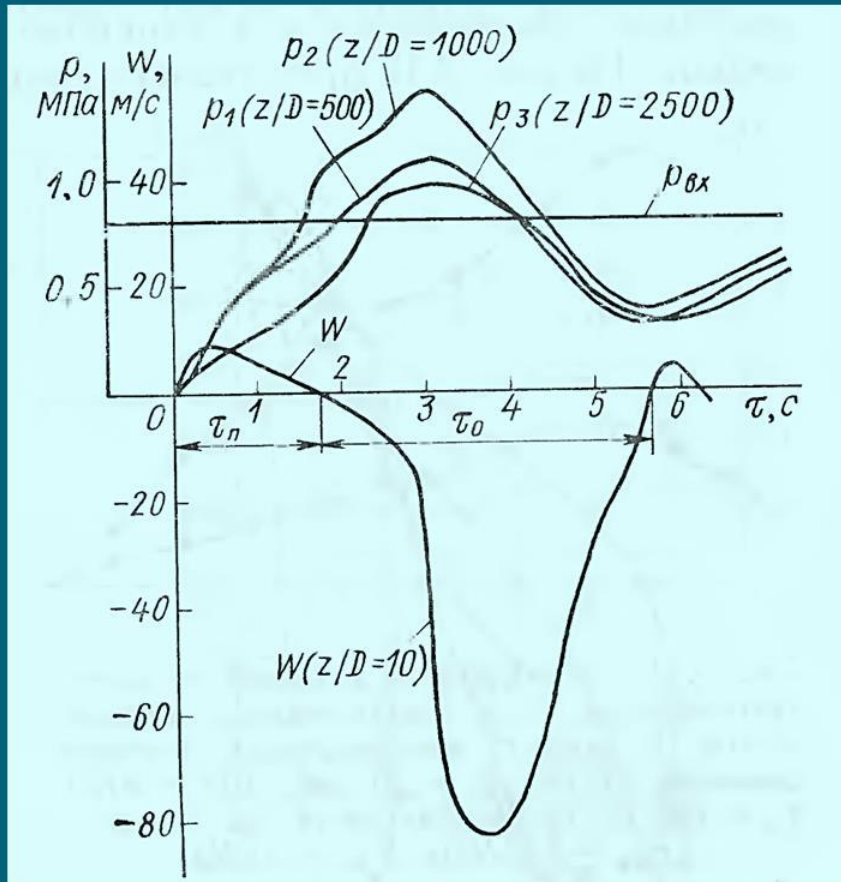
$$\lambda_{\text{см}} = \psi \lambda_{\text{тр}}$$

Обычно $\psi = 1$

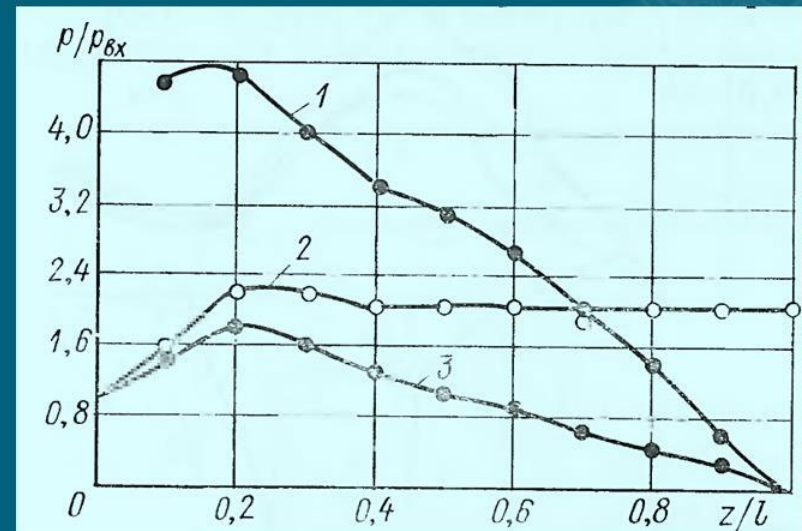
Область на участки что в одном подходе, что в другом

Нестационарные явления в криогенных трубопроводах

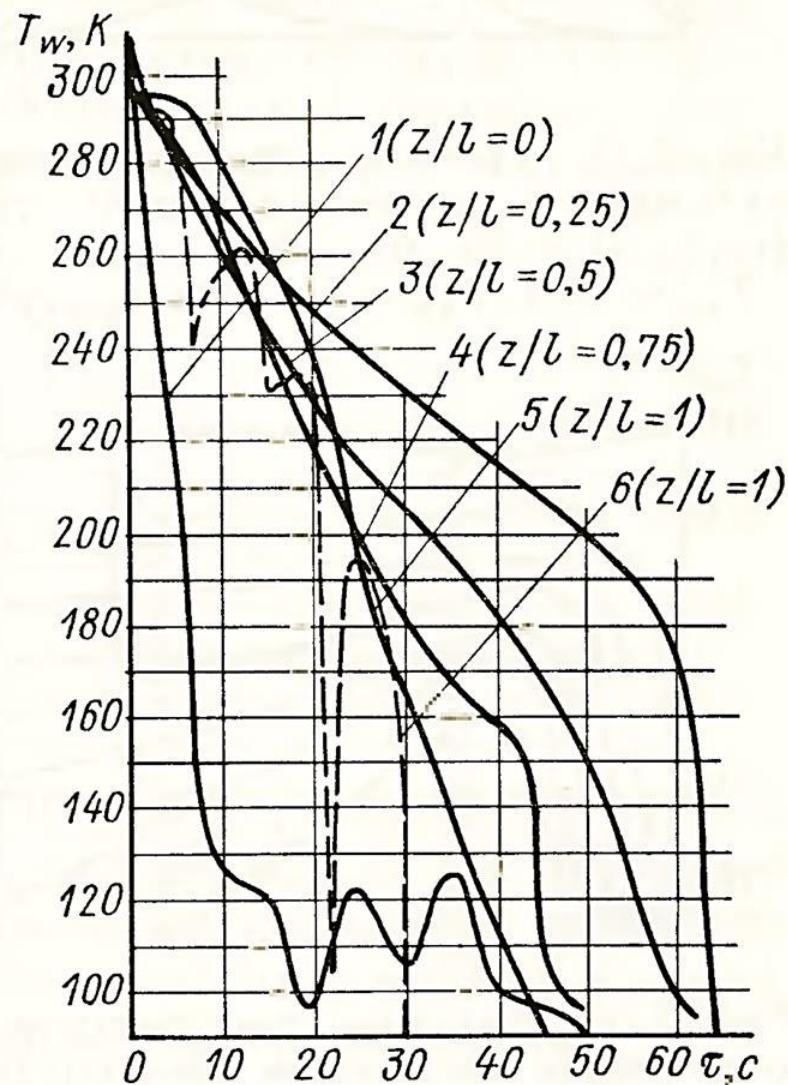
Типичная картина затекания в теплый длинный трубопровод



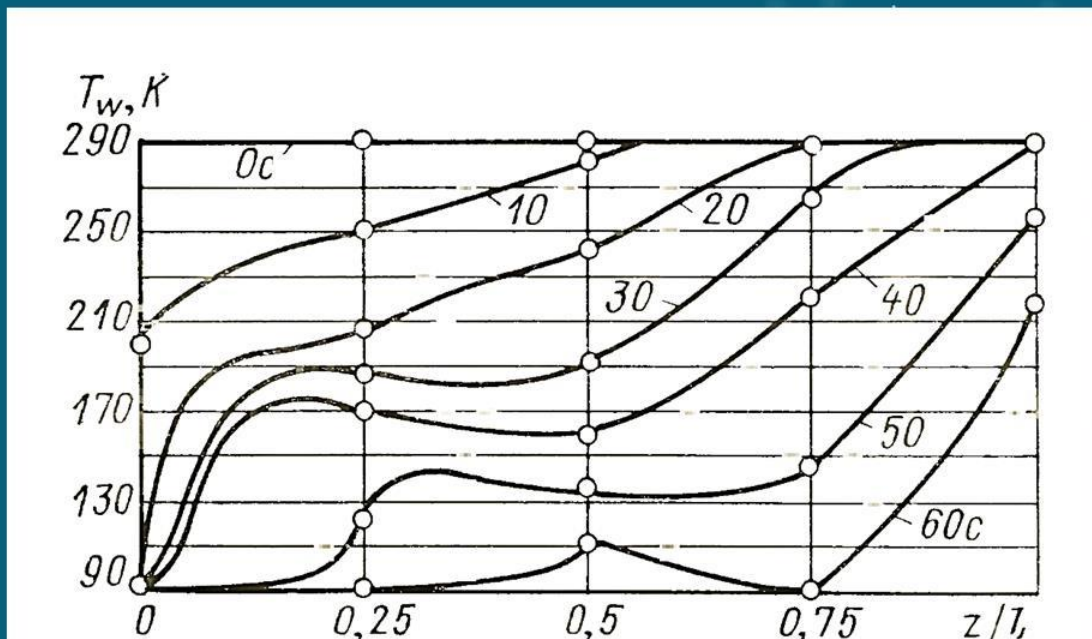
Момент максимального давления



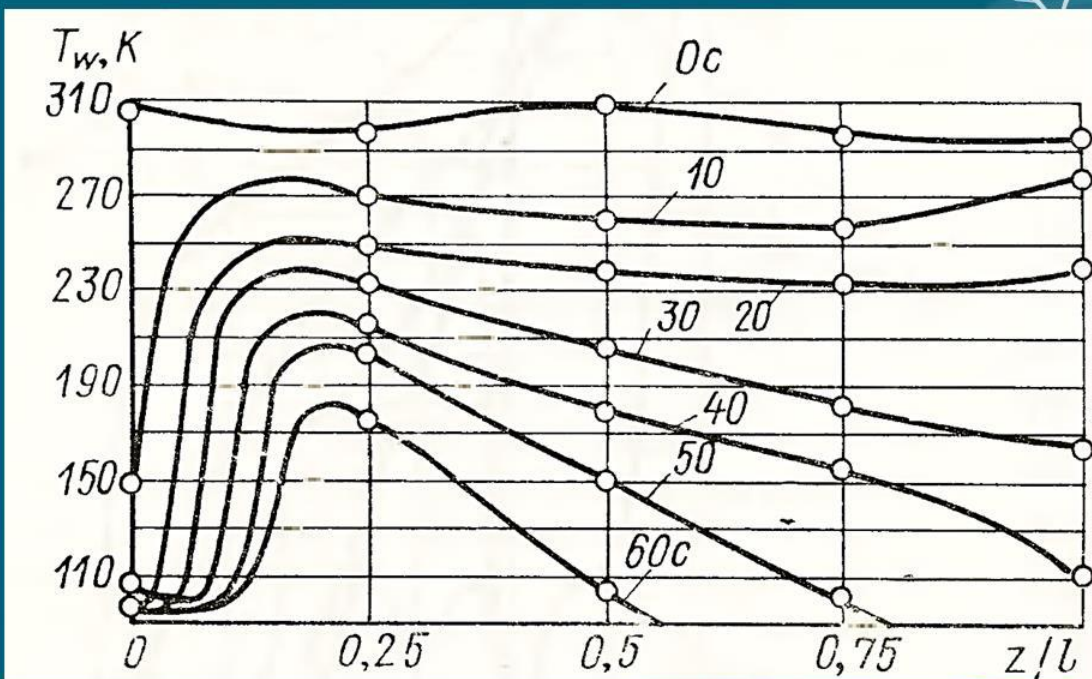
Типичная картина
изменения температуры
потока по длине трубопровода
во времени (жидкий кислород).



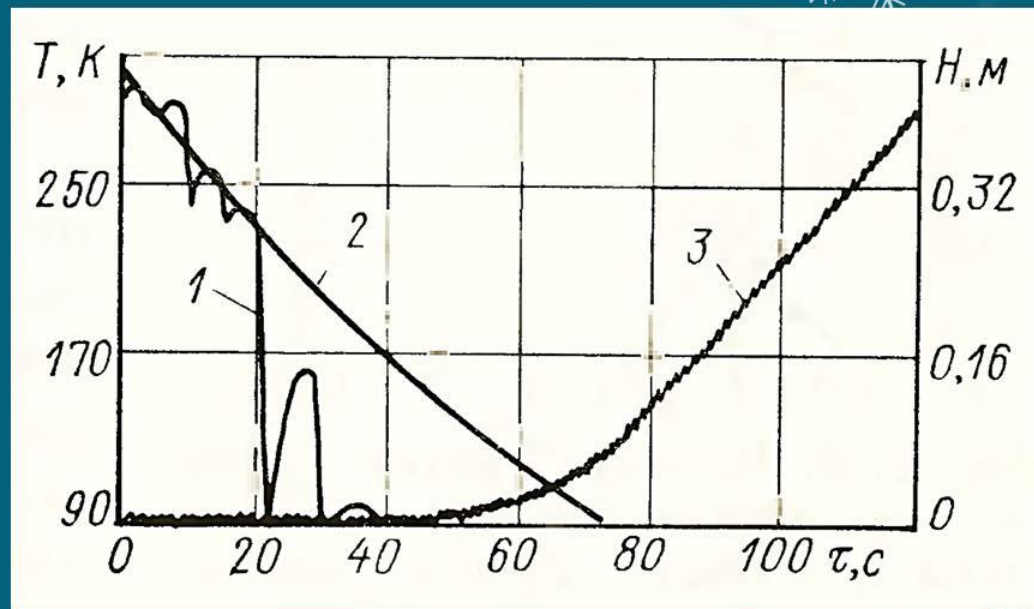
Азот –
длинный трубопровод



Кислород –
средний трубопровод



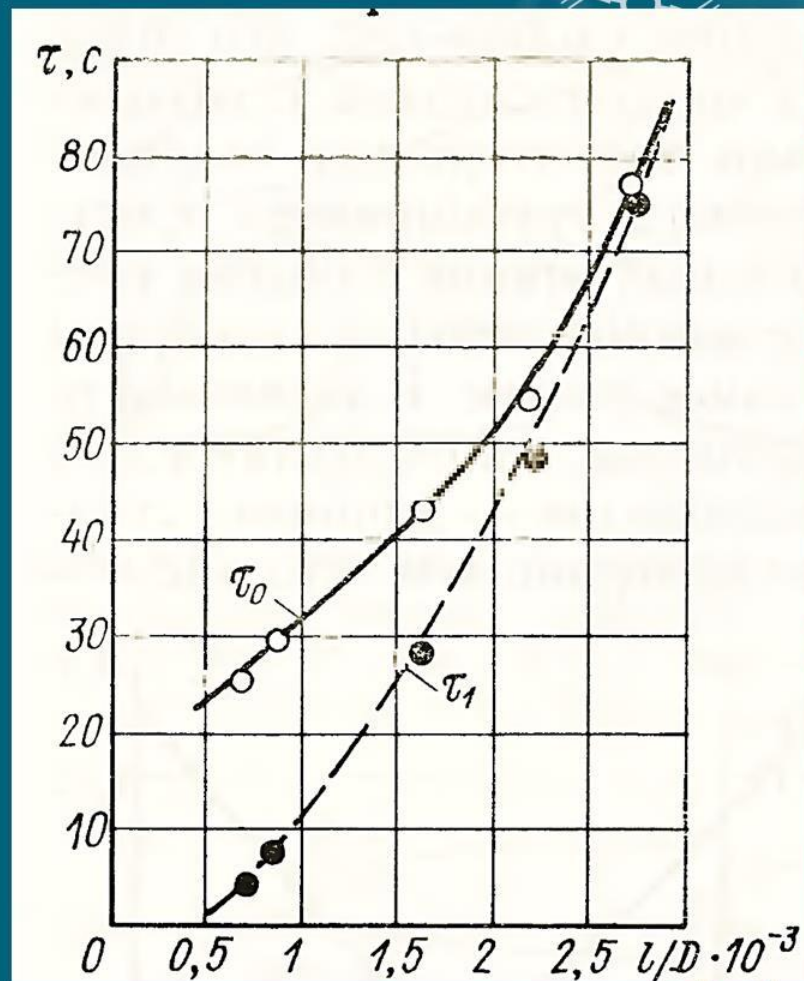
Кислород – средний трубопровод



- 1 – температура пара на выходе
- 2 – средняя температура стенки
- 3 – уровень жидкости в наливаемом сосуде

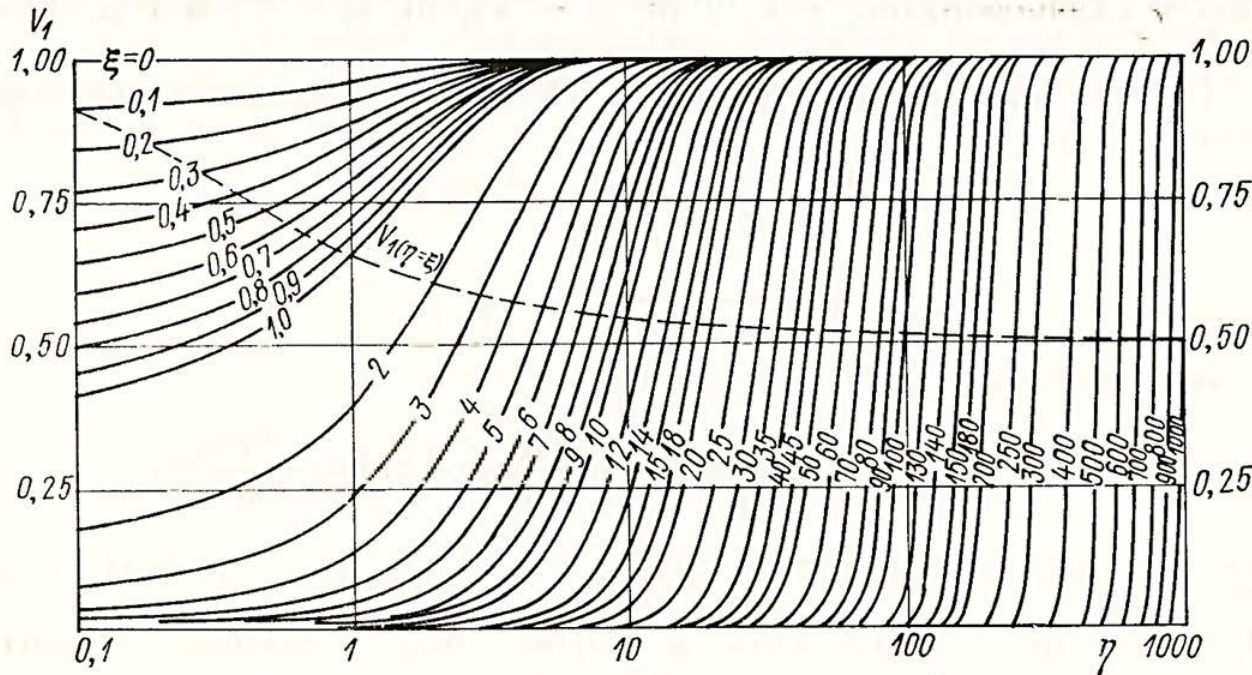
1 - время истечения газа
0 - полное охлаждение (кислород)

Короткие - < 500 калибров
Длинные - > 1500 ÷ 2000 калибров



Расчет времени прогрева – Гидродинамика и Теплопередача.

Для упрощенной схемы для стационарного расхода:



Изменение температуры потока при охлаждении (нагреве) трубопроводов газом с постоянным расходом $V_1 = f(\xi, \eta)$;

$$\left[V_1 = \frac{T_0 - T}{T_0 - T_{вх}}; \quad \xi = \frac{4\alpha}{\rho_{г} c_{пг} W} \frac{z}{D}; \quad \eta = \frac{4\alpha (\tau - z/W)}{\rho_{w} c_w \delta} \right]$$

Газ при

$$\alpha F / (G c_{пг}) \gg 1$$

$$\tau = \frac{M_w c_w}{(\alpha F)^{0.3} (G c_{пг})^{0.7}} \text{ при } \xi \leq 100;$$

$$\tau = 1,17 \frac{M_w c_w}{G c_{пг}} + 52,5 \frac{M_w c_w}{\alpha F} \text{ при } \xi > 100.$$

Гидравлический удар

$$\frac{\partial (f\rho W)}{\partial \tau} + W \frac{\partial (f\rho W)}{\partial z} + (1 + \delta) \frac{f \partial p}{\partial z} = 0;$$

$$\frac{\partial (f\rho)}{\partial \tau} + \frac{\partial (f\rho W)}{\partial z} = 0.$$

$$\rho = \rho_0 \left(1 + \frac{p - p_0}{K_{\text{ж}}} \right);$$

$$f = f_0 \left(1 + k \frac{p - p_0}{E} \right),$$

Рассматриваемые изменения давлений $p - p_0$ малы по сравнению с E и $K_{\text{ж}}$, которые оцениваются числами порядка $E = 2 \cdot 10^5$ МПа (сталь) и $K_{\text{ж}} = 2 \cdot 10^3$ МПа (вода).

$$k (p - p_0)^2 / (K_{\text{ж}} E)$$



0

$$f\rho = f_0\rho_0 \left[1 + \left(\frac{1}{K_{\text{ж}}} + \frac{k}{E} \right) (p - p_0) \right]$$

$$K = K_{\text{ж}}E / (E + kK_{\text{ж}})$$

$$a^2 = K / \rho_0$$

$$\frac{\partial (f\rho)}{\partial \tau} = \frac{f}{a^2} \frac{\partial p}{\partial \tau}$$

$$-\rho \frac{\partial W}{\partial \tau} = \frac{\partial p}{\partial z} + \frac{\lambda_{\text{тр}}\rho W |W|}{2d};$$

$$-\rho \frac{\partial W}{\partial z} = \frac{1}{a^2} \frac{\partial p}{\partial \tau}.$$

Нестационарности процессов

$$\frac{dp}{\rho d\tau} \frac{2L}{a} \ll 1$$

Гейзерный эффект

Стержневое течение при пленочном кипении

Приток тепла через арматуру и резкое открытие

Заполнение тупикового газопровода

**ВСЕ ЭТО УЧИТЫВАЕТСЯ В РАБОТЕ
ЗАПОРНОЙ АРМАТУРЕ
И ПНЕВМОКЛАПАНАХ**